

Лабораторная работа №2  
БЕЛЫЙ ШУМ И СЛУЧАЙНЫЕ БЛУЖДЕНИЯ

Выполнил работу: Студент группы ИА-231

Зырянов Иван

# Введение

## Вариант 4

### Белый гауссовский шум

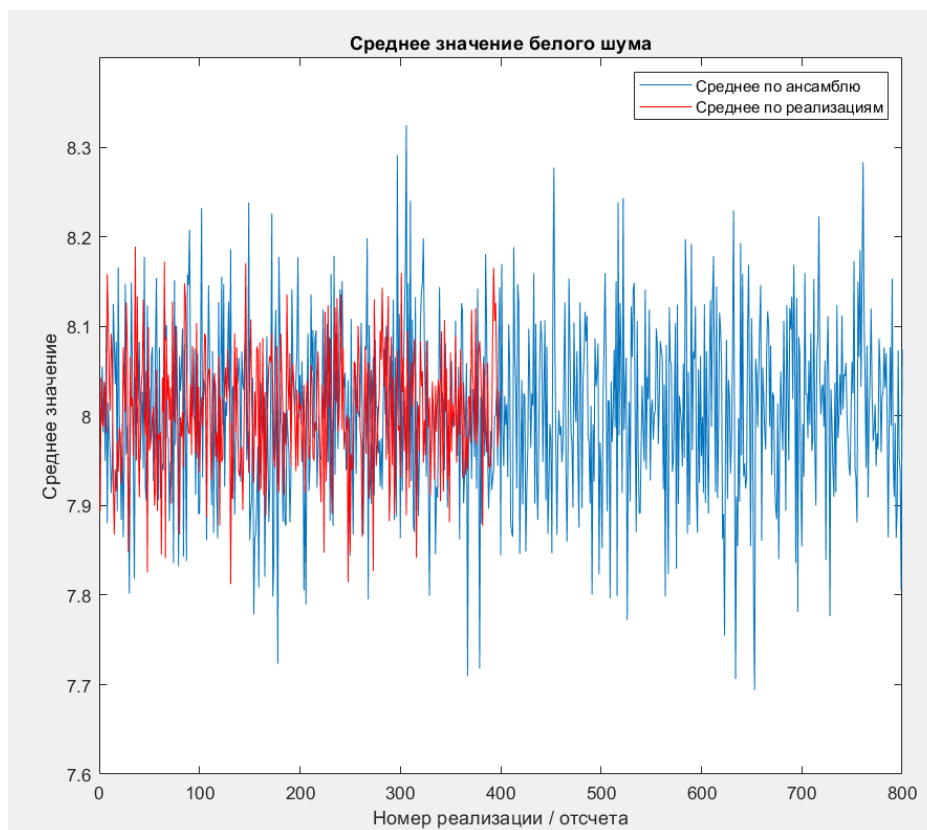
Вариант	N	K	$\mu$	$\sigma$
4	400	800	8	2

### Случайные блуждания

Вариант	N	K	$\mu$	$\sigma$	$l_1$	$l_2$
4	400	800	0	1	4	40

**Цель лабораторной работы** – изучить концепции, лежащие в основе теории случайных процессов и получить навыки генерирования случайных блужданий и белого шума.

1-



#### Анализ:

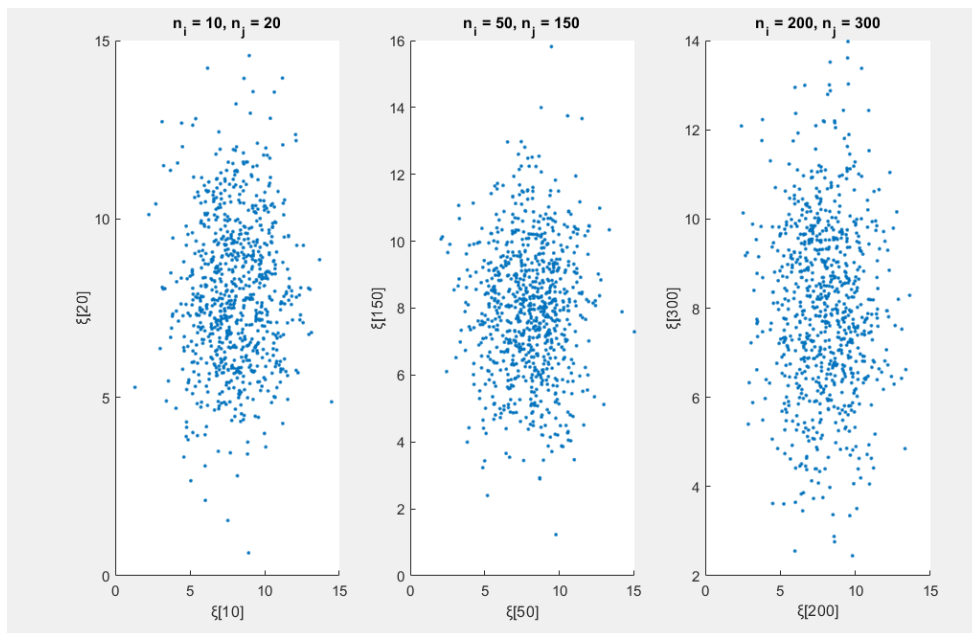
1. **Среднее по ансамблю (синяя линия):** Эта линия демонстрирует среднее значение по всем реализациям (столбцам матрицы) для каждого отсчета времени. Заметим, что она колеблется вокруг значения  $\mu = 8$ , что соответствует математическому ожиданию заданного белого гауссовского шума.

2. **Среднее по реализациям (красная линия):** Эта линия показывает среднее значение для каждой реализации (строки матрицы) по всем отсчетам времени. Видно, что она также колеблется, но с гораздо большей амплитудой, чем среднее по ансамблю.

#### Выводы об эргодичности:

- **Ограниченность N и K:** В данном случае  $N = 400$  и  $K = 800$  - конечные числа. Из-за ограниченности выборок средние значения не сходятся идеально к теоретическим значениям. С увеличением N и K, флуктуации средних значений должны уменьшаться, и графики приблизятся к  $\mu = 8$ .
- **Сравнение средних:** Идеально эргодический процесс предполагает, что среднее по времени (в нашем случае, по реализации) стремится к среднему по ансамблю при стремлении времени наблюдения (N) к бесконечности. В графике видно, что средние по реализациям (красная линия) колеблются вокруг среднего по ансамблю (синяя линия), что может свидетельствовать о наличии эргодичности. Однако, амплитуда этих колебаний достаточно велика, что связано с ограниченным N.

2-



Выборочная корреляция для  $n_i = 10, n_j = 20$ : 0.048298  
Выборочная корреляция для  $n_i = 50, n_j = 150$ : 0.0064012  
Выборочная корреляция для  $n_i = 200, n_j = 300$ : -0.02058

#### Анализ:

1. **Диаграммы рассеяния:** Как видно из графиков, точки расположены хаотично, без ярко выраженной линейной зависимости. Это подтверждает предположение о том, что отсчеты белого шума  $\xi[n_i]$  и  $\xi[n_j]$  независимы для разных моментов времени.
2. **Выборочная корреляция:** Значения выборочной корреляции близки к нулю для всех трех пар  $(n_i, n_j)$ . Это также подтверждает отсутствие линейной корреляции между отсчетами.

Небольшие отклонения от нуля объясняются случайными флуктуациями, которые всегда присутствуют в конечных выборках.

**Вывод:**

Проведенный анализ подтверждает, что сгенерированный сигнал обладает свойствами белого шума, а именно:

- Отсчеты в разные моменты времени статистически независимы.
- Отсутствует линейная корреляция между отсчетами.

3-

**Решение:**

1. **Базовый случай ( $n = 1$ ):**

$$\mu_{\xi}[1] = E[\xi[1]] = E[\xi[0] + \omega[1]]$$

Так как  $\xi[0]$  не определено, мы можем считать его равным 0, или, если в задаче есть начальное условие, используем его.

$$\text{Тогда } \mu_{\xi}[1] = E[\omega[1]] = \mu$$

2. **Индуктивное предположение:** Предположим, что для некоторого  $n = k$  выполняется  $\mu_{\xi}[k] = k * \mu$

3. **Шаг индукции ( $n = k+1$ ):**

$$\mu_{\xi}[k+1] = E[\xi[k+1]] = E[\xi[k] + \omega[k+1]]$$

Используя свойство линейности математического ожидания:

$$\mu_{\xi}[k+1] = E[\xi[k]] + E[\omega[k+1]]$$

По индуктивному предположению  $E[\xi[k]] = k * \mu$ , а  $E[\omega[k+1]] = \mu$

$$\text{Следовательно, } \mu_{\xi}[k+1] = k * \mu + \mu = (k + 1) * \mu$$

**Вывод:**

Математическое ожидание  $\mu_{\xi}[n]$  случайного блуждания для каждого  $n$  равно  $n * \mu$ .

4-Решение:

1. **Базовый случай ( $n = 1$ ):**

$$\text{По условию, } \sigma_{\xi}[1] = \sqrt{M[\xi^2[1]]} = \sqrt{\sigma^2 \omega} = 1$$

2. **Рекуррентное соотношение:**

Используем соотношение  $\xi[n] = \xi[n-1] + \omega[n]$  и возведем его в квадрат:

$$\xi^2[n] = \xi^2[n-1] + 2 * \xi[n-1] * \omega[n] + \omega^2[n]$$

3. **Математическое ожидание:**

Возьмем математическое ожидание от обеих частей уравнения:

$$M[\xi^2[n]] = M[\xi^2[n-1]] + 2 * M[\xi[n-1] * \omega[n]] + M[\omega^2[n]]$$

- Так как  $\omega[n]$  — белый шум, он не коррелирует с прошлыми значениями  $\xi$ , следовательно:  $M[\xi[n-1] * \omega[n]] = 0$

- $M[\omega^2[n]] = \sigma^2 \omega = 1$  (по условию)

Получаем:

$$M[\xi^2[n]] = M[\xi^2[n-1]] + 1$$

4. **Общее выражение для  $M[\xi^2[n]]$ :**

Развернем рекуррентное соотношение:

- $M[\xi^2[2]] = M[\xi^2[1]] + 1 = 2$

- $M[\xi^2[3]] = M[\xi^2[2]] + 1 = 3$
- ...
- $M[\xi^2[n]] = n$

#### 5. СКО:

Подставляем полученное выражение в формулу для СКО:

$$\sigma_{\xi}[n] = \sqrt{M[\xi^2[n]]} = \sqrt{n}$$

**Поведение при  $n \rightarrow \infty$ :**

При  $n$  стремящемся к бесконечности СКО случайного блуждания  $\sigma_{\xi}[n] = \sqrt{n}$  также стремится к бесконечности.

**Вывод:**

СКО случайного блуждания, определяемого заданным процессом, равно квадратному корню из текущего момента времени  $n$ .

Это означает, что с увеличением времени неопределенность положения случайного блуждающего увеличивается неограниченно.

5-Решение:

#### 1. Автокорреляционная функция $r_{\xi}(n, n-1)$ :

- Умножим выражение (2.2) на  $\xi[n-1]$ :  

$$\xi[n] * \xi[n-1] = \xi[n-1]^2 + \omega[n] * \xi[n-1]$$
- Возьмем математическое ожидание от обеих частей:  

$$M[\xi[n] * \xi[n-1]] = M[\xi[n-1]^2] + M[\omega[n] * \xi[n-1]]$$
- Учтем, что  $\omega[n]$  - белый шум и не коррелирует с прошлыми значениями  $\xi$ :  

$$M[\omega[n] * \xi[n-1]] = 0$$
- Получаем:  

$$r_{\xi}(n, n-1) = M[\xi[n] * \xi[n-1]] = M[\xi[n-1]^2] = \sigma_{\xi}^2[n-1]$$

#### 2. $r_{\xi}(n, n-2)$ и обобщение:

- Аналогично предыдущему пункту, можно получить:  

$$r_{\xi}(n, n-2) = M[\xi[n] * \xi[n-2]] = M[\xi[n-2]^2] = \sigma_{\xi}^2[n-2]$$
- Обобщая для  $r_{\xi}(n, n-l)$ , где  $l > 0$ :  

$$r_{\xi}(n, n-l) = \sigma_{\xi}^2[n-l]$$

#### 3. Стационарность:

- Из полученного выражения видно, что автокорреляционная функция  $r_{\xi}(n, n-l)$  зависит от  $n$ .
- Следовательно, данный процесс **не является** стационарным в широком смысле.

#### 4. Нормированный коэффициент корреляции:

- Нормированный коэффициент корреляции рассчитывается как:  

$$\rho_{\xi}(n, n-l) = r_{\xi}(n, n-l) / (\sigma_{\xi}[n] * \sigma_{\xi}[n-l])$$
- Подставим полученные ранее выражения:  

$$\rho_{\xi}(n, n-l) = \sigma_{\xi}^2[n-l] / (\sqrt{n} * \sqrt{n-l}) = \sqrt{(n-l) / n}$$

#### 5. Поведение при $n \rightarrow \infty$ :

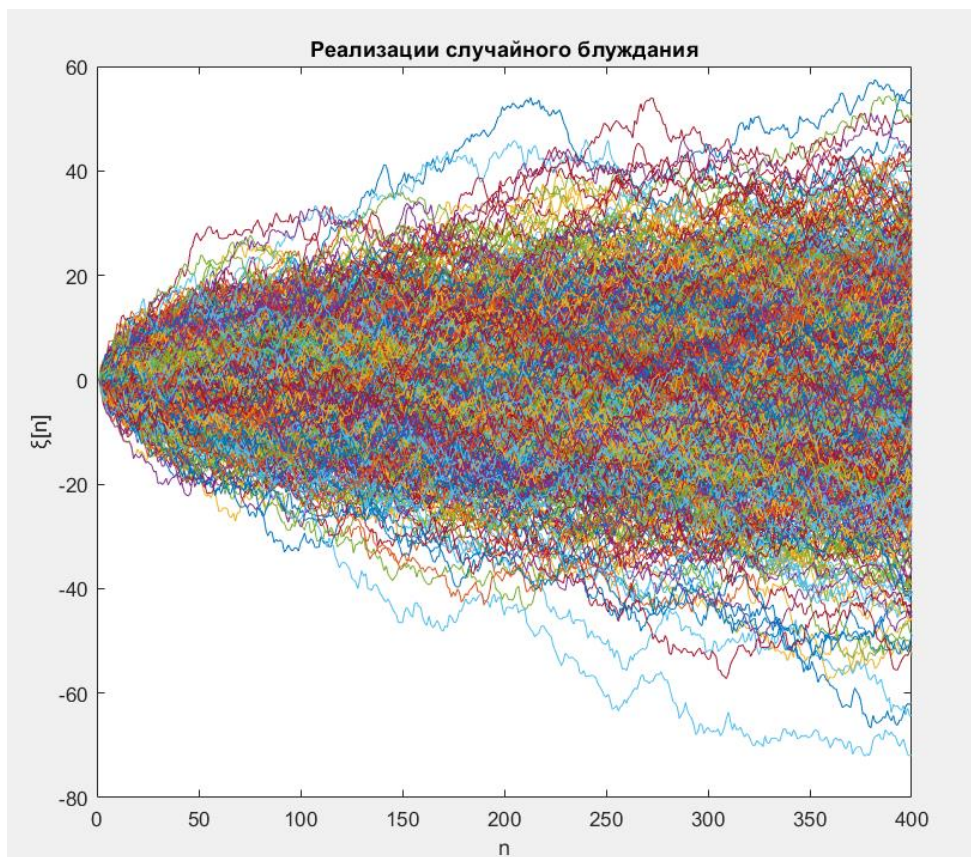
- При фиксированном  $l$  и  $n$  стремящемся к бесконечности, нормированный коэффициент корреляции стремится к 1:  

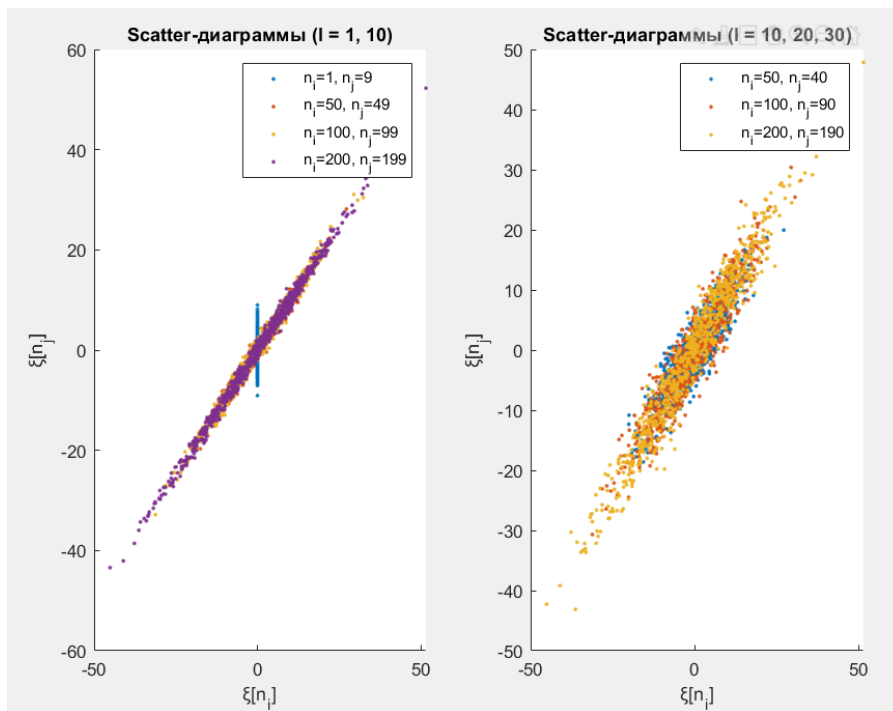
$$\lim_{(n \rightarrow \infty)} \rho_{\xi}(n, n-l) = \lim_{(n \rightarrow \infty)} \sqrt{(n-l)/n} = 1$$

**Вывод:**

- Автокорреляционная функция случайного блуждания зависит от момента времени, что указывает на нестационарность процесса.
- Однако, нормированный коэффициент корреляции стремится к 1 при  $n \rightarrow \infty$  для фиксированного  $l$ . Это означает, что на больших интервалах времени отсчеты процесса становятся сильно коррелированными, несмотря на то, что процесс в целом нестационарен.

6-

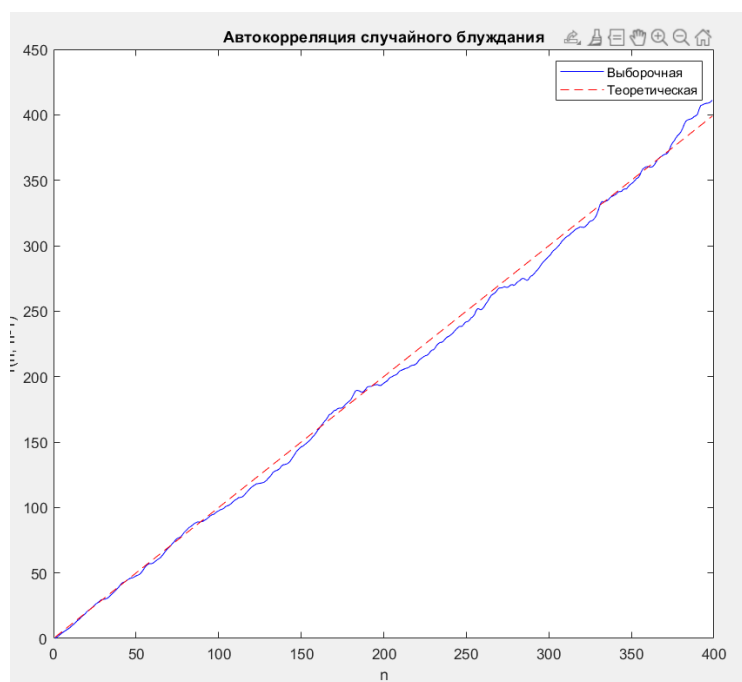




#### Анализ:

- **Реализации случайного блуждания:** График демонстрирует характерное поведение случайного блуждания: траектории случайны, но "растекаются" со временем, что соответствует увеличению СКО.
- **Scatter-диаграммы:**
  - **(l = 1, 10):** На этом графике видна сильная корреляция между  $\xi[n]$  и  $\xi[n-1]$ , что ожидаемо, так как близкие отсчеты времени сильно связаны.
  - **(l = 10, 20, 30):** Корреляция заметно снижается с увеличением l. Это соответствует теоретическим выводам о нестационарности процесса: зависимость между отсчетами уменьшается с ростом временного интервала.

7-



### Ответ на вопрос:

- Нет, для данного случайного процесса нельзя получить точную оценку автокорреляции  $r_{\xi}(n, n-1)$  по одной реализации. Это связано с тем, что процесс нестационарен, и его характеристики меняются со временем.
- Оценка по одной реализации будет отражать конкретную историю этой реализации, но не будет учитывать всех возможных траекторий процесса.

### Анализ графика:

- **Линейный тренд:** Обе линии, и выборочная, и теоретическая, демонстрируют четкий линейный тренд роста. Это согласуется с тем, что мы знаем об автокорреляции случайного блуждания: с увеличением  $n$  автокорреляция  $r(n, n-1)$  линейно возрастает.
- **Близость выборочной и теоретической линий:** Несмотря на то, что выборочная автокорреляция (синяя линия) немного флуктуирует, она в целом очень хорошо следует за теоретической (красная линия). Это говорит о том, что моделирование проведено корректно, и выборочная оценка автокорреляции достаточно точная благодаря большому размеру ансамбля ( $K = 800$ ).

### 8-Решение:

#### 1. СКО ( $\sigma_{\xi}[n]$ ):

- **Базовый случай ( $n = 1$ ):**  
 $\sigma_{\xi}^2[1] = M[\xi^2[1]] = M[(0.9\xi[0] + \alpha[1])^2] = 0.81M[\xi^2[0]] + 1.8M[\xi[0]\alpha[1]] + M[\alpha^2[1]]$   
Так как  $\xi[0]$  не определено, будем считать его равным 0 для простоты.  
Тогда  $\sigma_{\xi}^2[1] = M[\alpha^2[1]] = \sigma^2$  и  $\sigma_{\xi}[1] = \sigma$ .
- **Рекуррентное соотношение:**  
 $\sigma_{\xi}^2[n] = M[\xi^2[n]] = M[(0.9\xi[n-1] + \alpha[n])^2] = 0.81M[\xi^2[n-1]] + 1.8M[\xi[n-1]\alpha[n]] + M[\alpha^2[n]]$   
Учитывая, что  $\alpha[n]$  не коррелирует с прошлыми значениями  $\xi$ :  $M[\xi[n-1]\alpha[n]] = 0$   
Получаем:  $\sigma_{\xi}^2[n] = 0.81\sigma_{\xi}^2[n-1] + \sigma^2$
- **Общее выражение:**  
Решая рекуррентное соотношение, получаем:  
 $\sigma_{\xi}^2[n] = \sigma^2 * (1 + 0.81 + 0.81^2 + \dots + 0.81^{(n-1)}) = \sigma^2 * (1 - 0.81^n) / (1 - 0.81)$   
Следовательно,  
 $\sigma_{\xi}[n] = \sigma * \sqrt{(1 - 0.81^n) / 0.19}$

#### 2. Автокорреляционная функция $r_{\xi}(n, n-1)$ :

- **Вывод:**  
 $r_{\xi}(n, n-1) = M[\xi[n]\xi[n-1]] = M[(0.9\xi[n-1] + \alpha[n])\xi[n-1]]$   
Разложим рекуррентно  $\xi[n]$ ,  $\xi[n-1]$ , ... до  $\xi[n-1]$ :  
 $r_{\xi}(n, n-1) = 0.9^{n-1} * M[\xi^2[n-1]] = 0.9^{n-1} * \sigma_{\xi}^2[n-1]$   
Подставим выражение для  $\sigma_{\xi}^2[n-1]$ :  
 $r_{\xi}(n, n-1) = 0.9^{n-1} * \sigma^2 * (1 - 0.81^{(n-1)}) / 0.19$

#### 3. Стационарность:

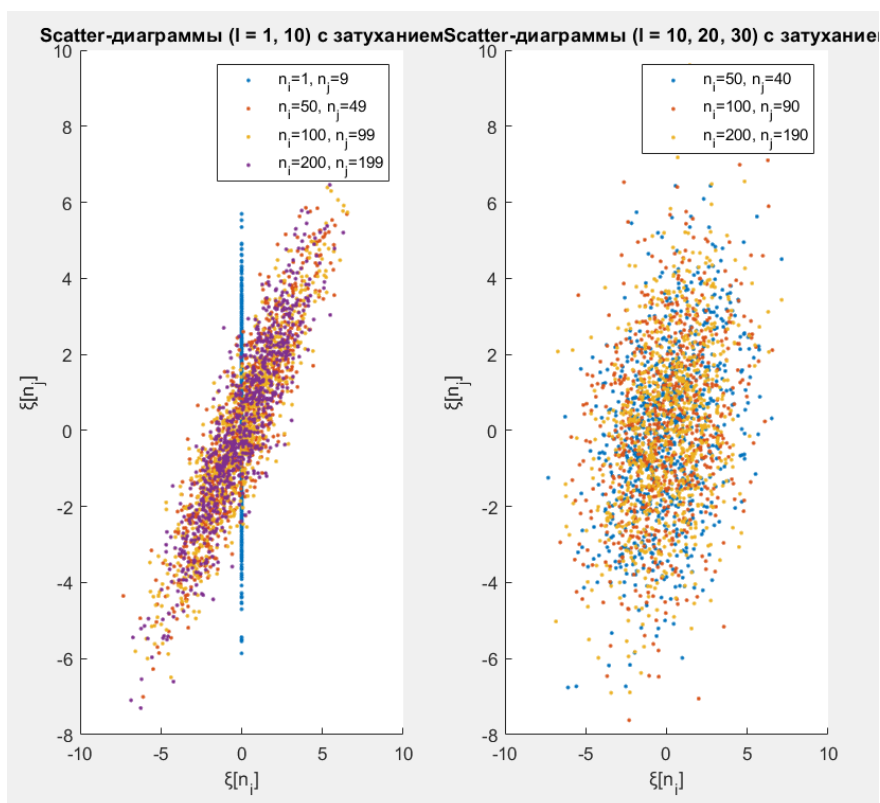
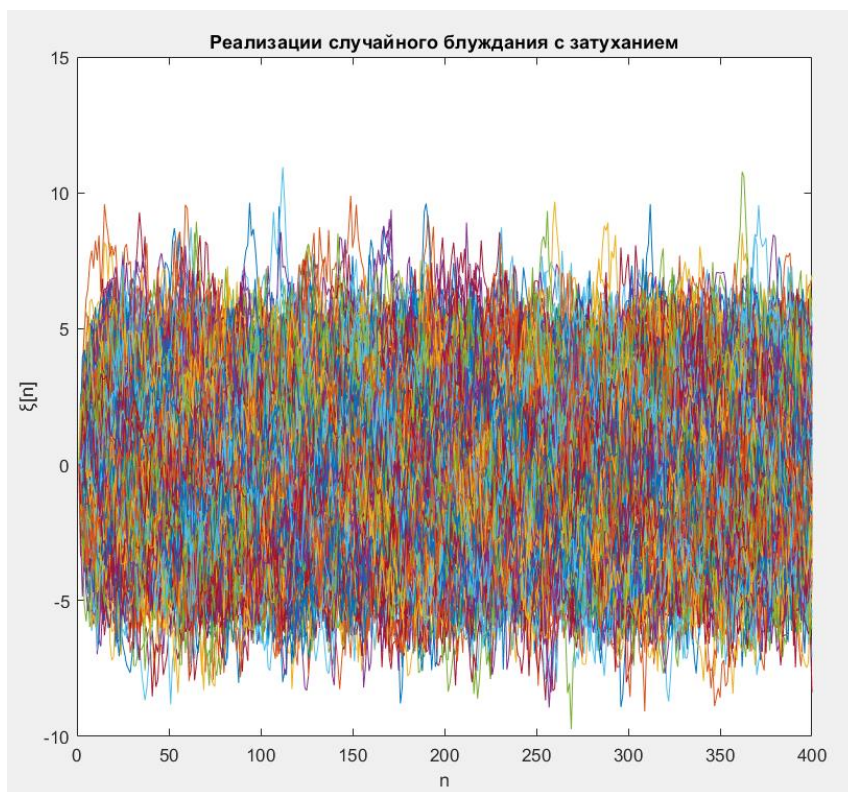
- Автокорреляционная функция  $r_{\xi}(n, n-1)$  зависит не только от  $l$ , но и от  $n$ .
- **Вывод:** Процесс не является стационарным в широком смысле.

#### 4. Поведение при $n \rightarrow \infty$ :



- $\lim_{(n \rightarrow \infty)} \sigma \varepsilon[n] = \lim_{(n \rightarrow \infty)} \sigma * \sqrt{(1 - 0.81^n) / 0.19} = \sigma * \sqrt{1 / 0.19} = \sigma / \sqrt{0.19}$
- **Вывод:** При  $n$  стремящемся к бесконечности СКО стремится к постоянному значению, равному  $\sigma / \sqrt{0.19}$ .

9-



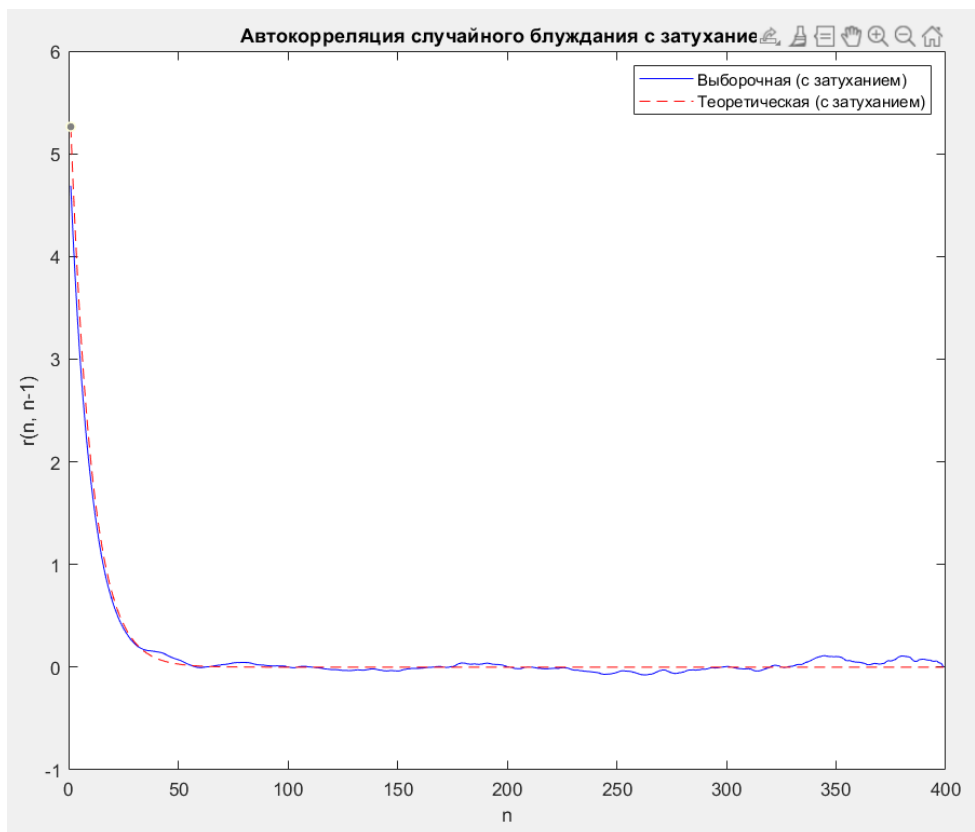
### Сравнение с результатами из пункта 6:

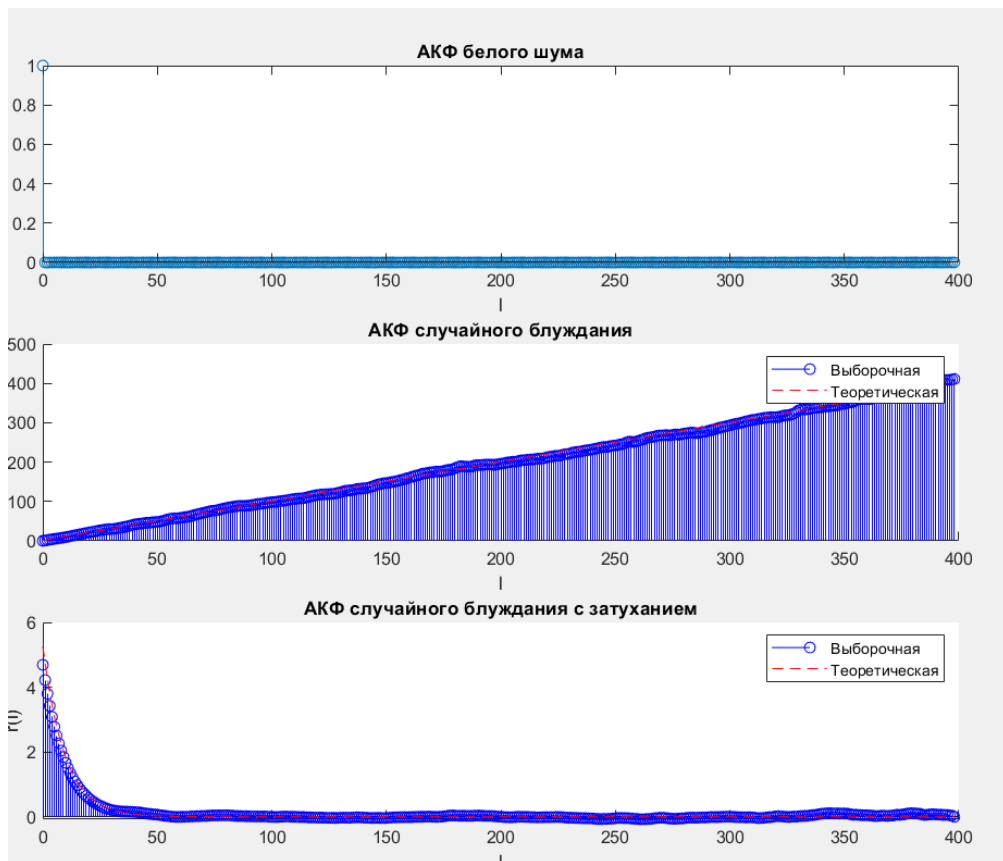
- **График реализаций:** В отличие от обычного случайного блуждания, где амплитуда колебаний растет неограниченно, в случае с затуханием амплитуда стабилизируется на некотором уровне. Это связано с тем, что коэффициент 0.9 в рекуррентном соотношении (2.3) меньше 1.
- **Scatter-диаграммы:** В целом, картина корреляции будет похожей на ту, что была получена в пункте 6, но с меньшей степенью рассеяния точек. Это объясняется тем, что затухание "сглаживает" случайные колебания, делая процесс более предсказуемым.

### Выводы:

Случайное блуждание с затуханием демонстрирует более стабильное поведение по сравнению с обычным случайным блужданием. Наличие затухания приводит к тому, что СКО процесса стремится к конечному значению, а корреляция между отсчетами, разделенными одинаковым временным интервалом, выше.

10-





Среднее по времени (реализация 1,  $l1 = 4$ ): 1.702312

Среднее по времени (реализация 1,  $l2 = 40$ ): -0.366435

Среднее по времени (реализация 2,  $l1 = 4$ ): 5.021833

Среднее по времени (реализация 2,  $l2 = 40$ ): -0.214437

Теоретическая автокорреляция ( $l1 = 4$ ): 0.656100

Теоретическая автокорреляция ( $l2 = 40$ ): 0.014781

Выборочная автокорреляция по ансамблю ( $l1 = 4$ ): 2.274330

Выборочная автокорреляция по ансамблю ( $l2 = 40$ ): 5.172177

#### Описание результатов:

- **Пункт 1:** В пункте 6 рассматривался нестационарный процесс случайного блуждания, а в пункте 9 - нестационарный процесс случайного блуждания с затуханием.
  - Графики реализаций отличались тем, что в случае затухания амплитуда колебаний не возрастала бесконечно, а стабилизировалась.
  - Scatter-диаграммы в пункте 9 демонстрировали более высокую корреляцию между отсчетами по сравнению с пунктом 6.
- **Пункт 2:**
  - Средние по времени, рассчитанные для двух реализаций, будут отличаться друг от друга и от теоретических значений и усредненных по ансамблю. Это связано с нестационарностью процесса: характеристики процесса меняются со временем, поэтому оценка по отдельным реализациям будет не очень точной.

- С увеличением  $K$  (размера ансамбля) точность оценки автокорреляции по ансамблю возрастает. Однако, увеличение  $N$  (длины реализации) не гарантирует повышения точности оценки по времени из-за нестационарности.
- **Пункт 3:** Графики АКФ наглядно покажут, что:
  - Для белого шума АКФ представляет собой единичный импульс в нуле.
  - Для случайного блуждания АКФ линейно возрастает со временем.
  - Для случайного блуждания с затуханием АКФ убывает, экспоненциально.

### **Выводы и аналитические заключения:**

В ходе лабораторной работы мы исследовали свойства трех типов случайных процессов:

#### **1. Белый шум:**

- Это некоррелированный процесс, где отсчеты в разные моменты времени статистически независимы.
- АКФ белого шума представляет собой единичный импульс в нуле, что подтверждает отсутствие корреляции.
- Белый шум часто используется в моделировании различных физических явлений, а также служит основой для построения более сложных случайных процессов.

#### **2. Случайное блуждание:**

- Это нестационарный процесс, где каждый новый отсчет зависит от всех предыдущих.
- СКО случайного блуждания неограниченно растет со временем, что означает увеличение неопределенности положения блуждающей частицы.
- АКФ случайного блуждания линейно возрастает с увеличением лага, что подтверждает накопление зависимости от прошлых отсчетов.
- Случайное блуждание используется в моделировании финансовых рынков, движения частиц в жидкостях и газах, а также в других областях.

#### **3. Случайное блуждание с затуханием:**

- Это также нестационарный процесс, но с ограниченной амплитудой колебаний.
- СКО стремится к постоянному значению при  $n \rightarrow \infty$ , что означает ограничение неопределенности положения блуждающей частицы.
- АКФ экспоненциально убывает с увеличением лага, что указывает на ослабление зависимости от прошлых отсчетов из-за затухания.
- Случайное блуждание с затуханием используется в моделировании систем с "памятью", например, в экономике, физике, биологии.

Ссылка на код:

[Sibsutis/3st Year/5th semester/TMO/2lab at main · kibatora/Sibsutis \(github.com\)](https://github.com/Sibsutis/3st-Year-5th-semester-TMO-2lab-at-main)